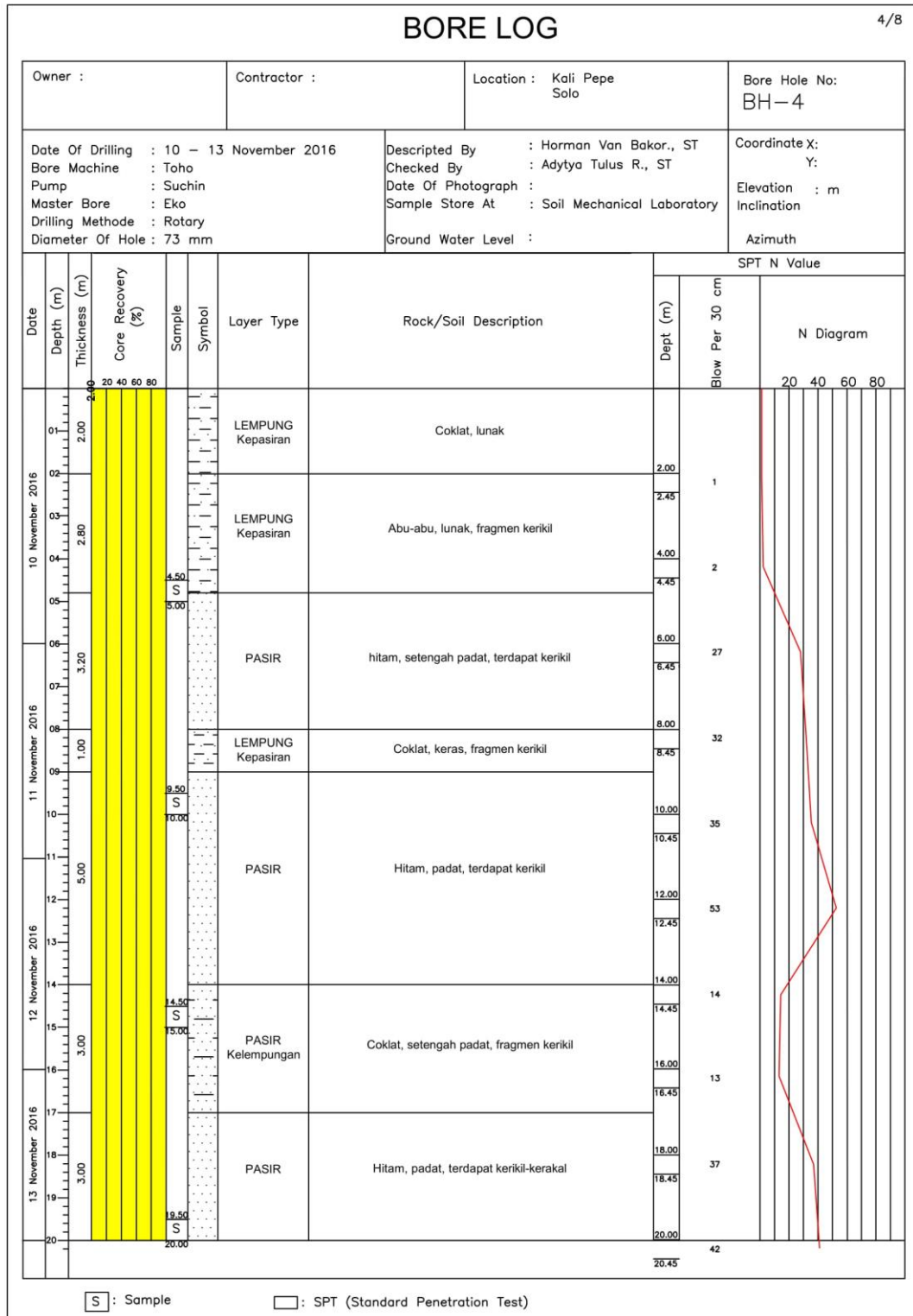


# Lampiran 1 Data Hasil Uji Bor Log dan SPT

## BORE LOG

4/8



# UnggulTex

POLYPROPYLENE WOVEN GEOTEXTILES

## TECHNICAL SPECIFICATIONS

PROPERTIES	UNIT	TEST METHOD	UW - 150	UW - 200	UW - 250
<b>Physical Properties</b>					
Mass	g/m <sup>2</sup>	ASTM D 5261-92	150	200	250
Thickness	mm	ASTM D 5199-91	0.5	0.6	0.7
Colour	-	-	Black	Black	Black
<b>Mechanical Properties</b>					
Strip Tensile Strength (Wrab/Weft)	kN/m	ASTM D 4595-94	37/35	42/39	52/52
Elongation at Max. Load (Wrab/Weft)	%	ASTM D 4595-94	19/18	20/20	20/20
Grap Tensile Strength (Wrab/Weft)	N	ASTM D 4632-91	1210/1200	1600/1600	1750/1750
Elongation at Max. Load (Wrab/Weft)	%	ASTM D 4632-91	14/13	22/22	22/22
Trapezoidal Tear Strength (Wrab/Weft)	N	ASTM D 4533-91	615/615	700/700	800/800
<b>Hydraulic Properties</b>					
Pore Size O <sub>95</sub>	µm	ASTM D 4751-95	320	275	250
Water Permeability	l/m <sup>2</sup> /sec	100 mm water head	28	16	7.5
<b>Environmental Properties</b>					
Effect of soil Alkalinity	-	-	nil	nil	nil
Effect of soil Acidity	-	-	nil	nil	nil
Effect of Bacteria	-	-	nil	nil	nil
Effect of U.V. Light	-	-	Stabilized	Stabilized	Stabilized
<b>Packaging</b>					
Roll Length	m	-	150 - 200	150 - 200	150 - 200
Roll Width	m	-	3 - 4	3 - 4	3 - 4
Roll Area	m <sup>2</sup>	-	640 - 760	640 - 760	640 - 760
Roll Diameter (Approx)	m	-	0.4 - 0.5	0.4 - 0.5	0.4 - 0.5
Roll Weight (Approx)	kg	-	96 - 114	128 - 152	160 - 190

All information, illustration and specification are based on the latest product information available at the time of printing. The right is reserved to make changes at any time without notice.

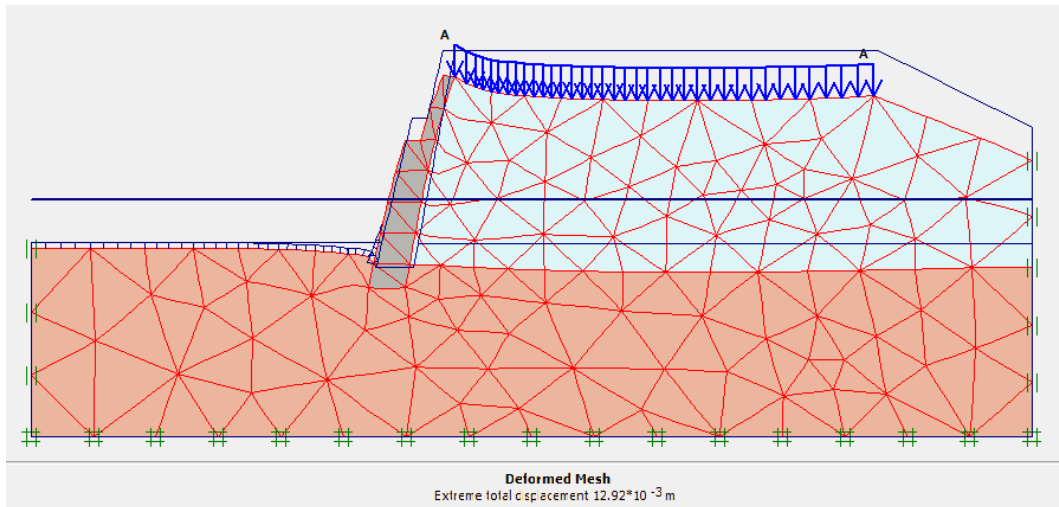
Distributed by :



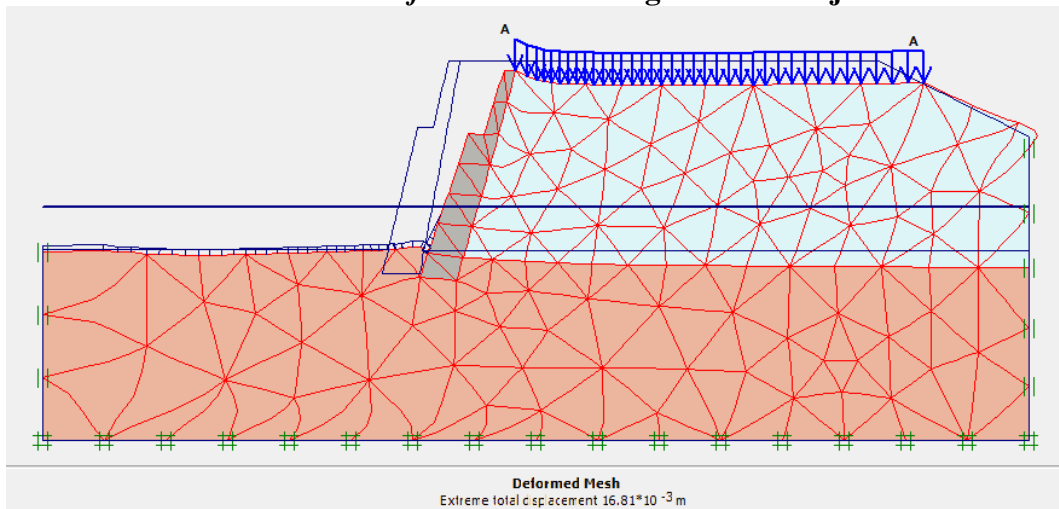
**PT. TEKNINDO GEOSISTEM UNGGUL**

Wisma SIER Building, 1<sup>st</sup> Floor, J. Rungkut Industri Raya 10, Surabaya 60253  
Tel. 031-8475062 Fax. 031-8475063

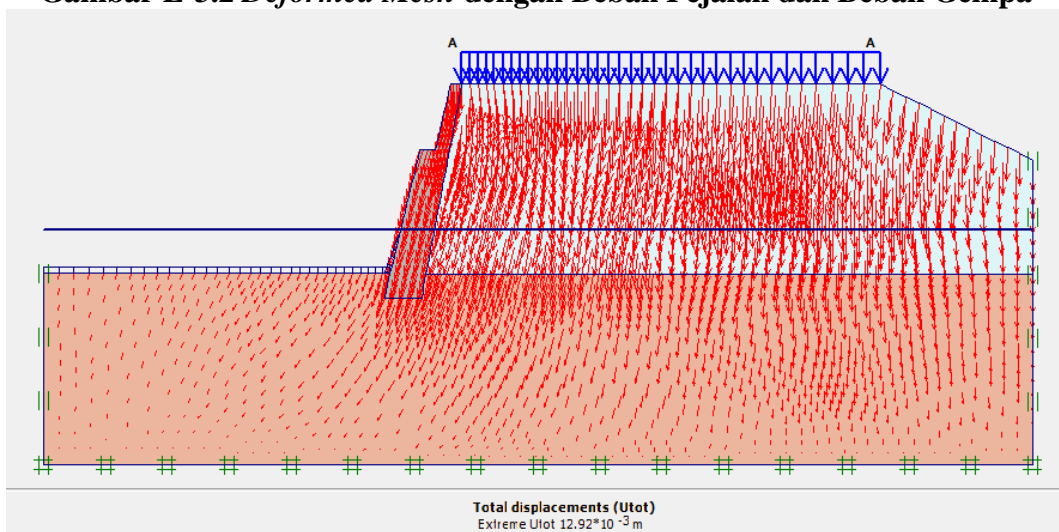
### Lampiran 3 Hasil Permodelan Plaxis Stabilitas Dinding Pasangan Batu pada Kondisi Muka Air Banjir



**Gambar L-3.1 Deformed Mesh dengan Beban Pejalan**

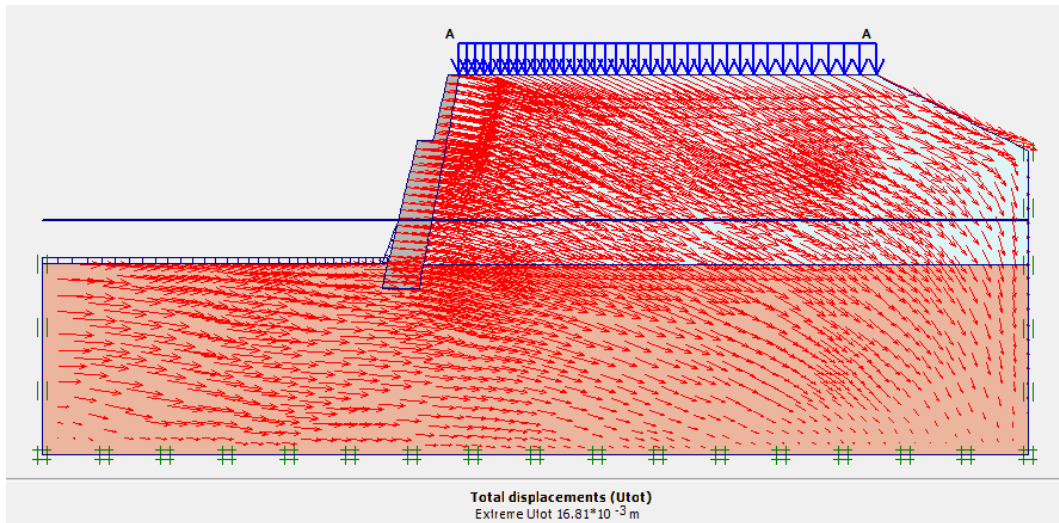


**Gambar L-3.2 Deformed Mesh dengan Beban Pejalan dan Beban Gempa**

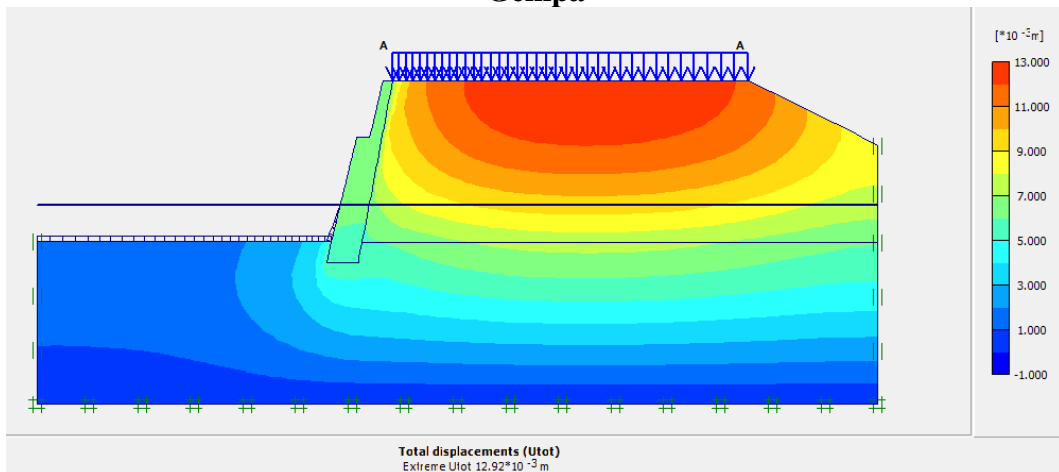


**Gambar L-3.3 Arah Pergerakan Tanah dengan Beban Pejalan**

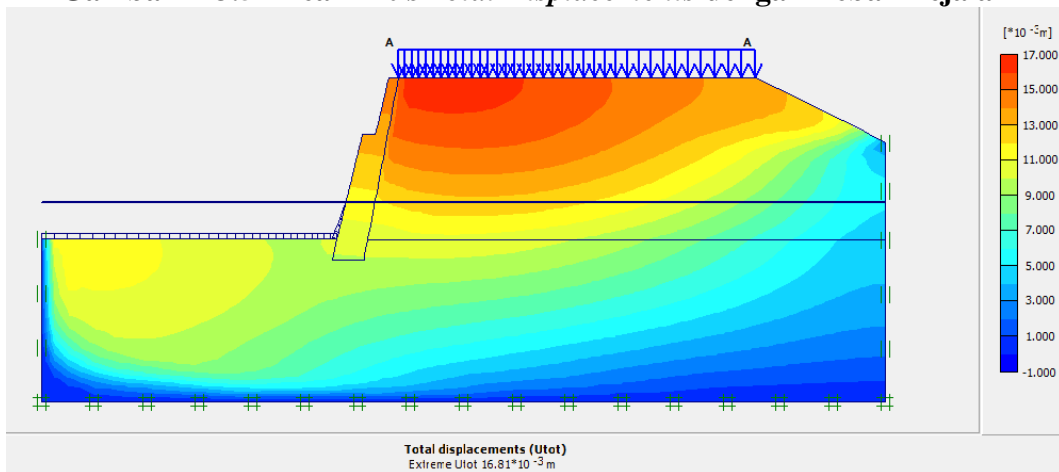
Lampiran 3 Hasil Permodelan Plaxis Stabilitas Dinding Pasangan Batu pada Kondisi Muka Air Banjir



Gambar L-3.4 Arah Pergerakan Tanah dengan Beban Pejalan dan Beban Gempa

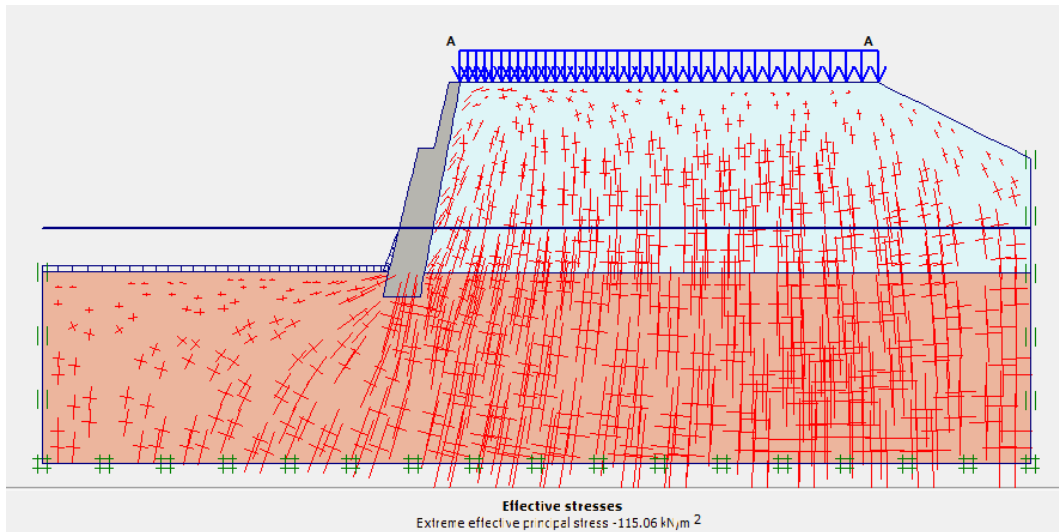


Gambar L-3.5 Area Kritis *Total Displacements* dengan Beban Pejalan

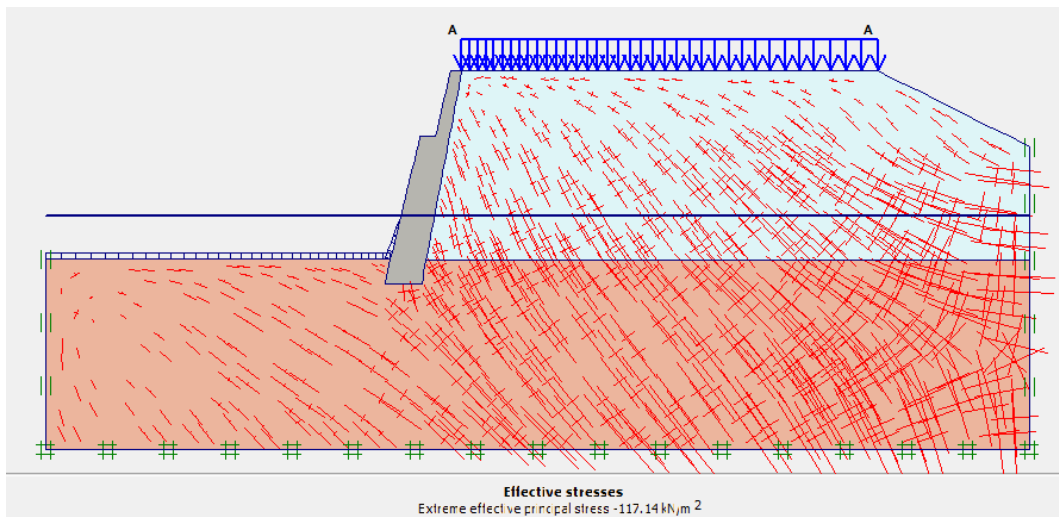


Gambar L-3.6 Area Kritis *Total Displacements* dengan Beban Pejalan dan Beban Gempa

Lampiran 3 Hasil Permodelan Plaxis Stabilitas Dinding Pasangan Batu pada Kondisi Muka Air Banjir



Gambar L-3.7 *Effective Stresses* dengan Beban Pejalan



Gambar L-3.8 *Effective Stresses* dengan Beban Pejalan dan Beban Gempa

Incremental multipliers		Total multipliers	
Mdisp:	N/A	$\Sigma$ -Mdisp:	N/A
MloadA:	N/A	$\Sigma$ -MloadA:	1.0000
MloadB:	N/A	$\Sigma$ -MloadB:	1.0000
Mweight:	N/A	$\Sigma$ -Mweight:	1.0000
Maccel:	N/A	$\Sigma$ -Maccel:	0.0000
Msf:	0.1000	$\Sigma$ -Msf:	1.2354

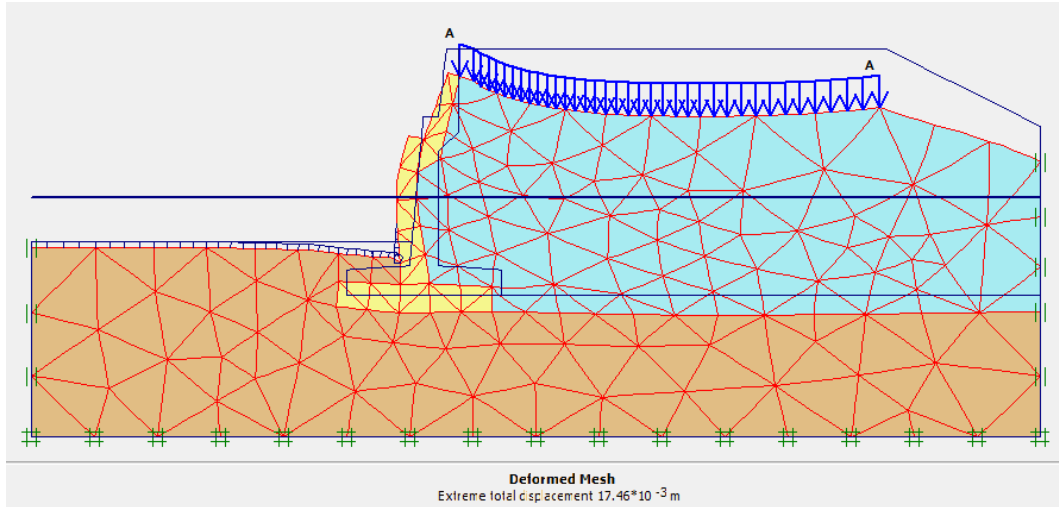
Gambar L-3.9 Angka Aman dengan Beban Pejalan

### Lampiran 3 Hasil Permodelan Plaxis Stabilitas Dinding Pasangan Batu pada Kondisi Muka Air Banjir

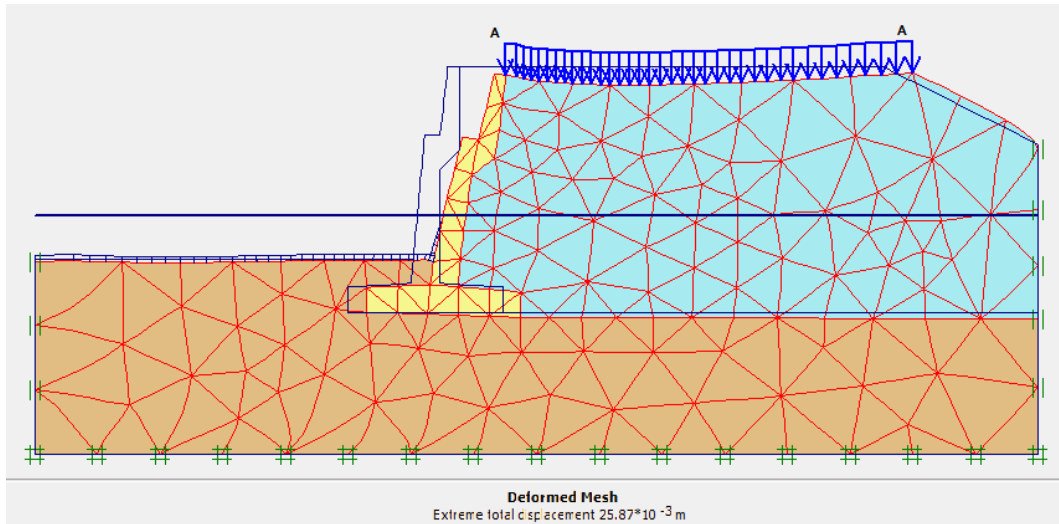
Incremental multipliers		Total multipliers	
Mdisp:	N/A	$\Sigma$ -Mdisp:	N/A
MloadA:	N/A	$\Sigma$ -MloadA:	1.0000
MloadB:	N/A	$\Sigma$ -MloadB:	1.0000
Mweight:	N/A	$\Sigma$ -Mweight:	1.0000
Maccel:	N/A	$\Sigma$ -Maccel:	-1.0000
Msf:	0.1000	$\Sigma$ -Msf:	1.0152

Gambar L-3.10 Angka Aman dengan Beban Pejalan dan Beban Gempa

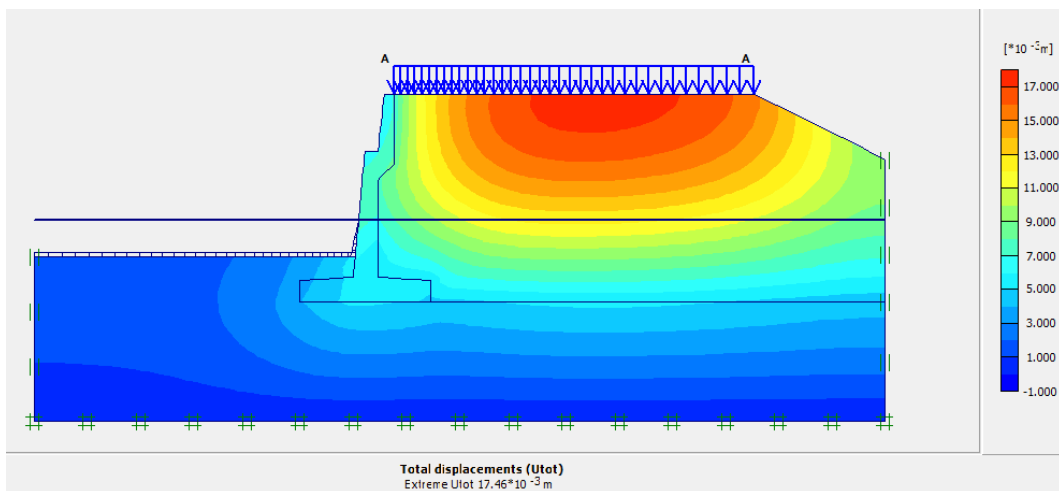
## Lampiran 4 Hasil Permodelan Plaxis Stabilitas Dinding Penahan Tanah pada Kondisi Muka Air Banjir



**Gambar L-4.1 Deformed Mesh dengan Beban Pejalan**

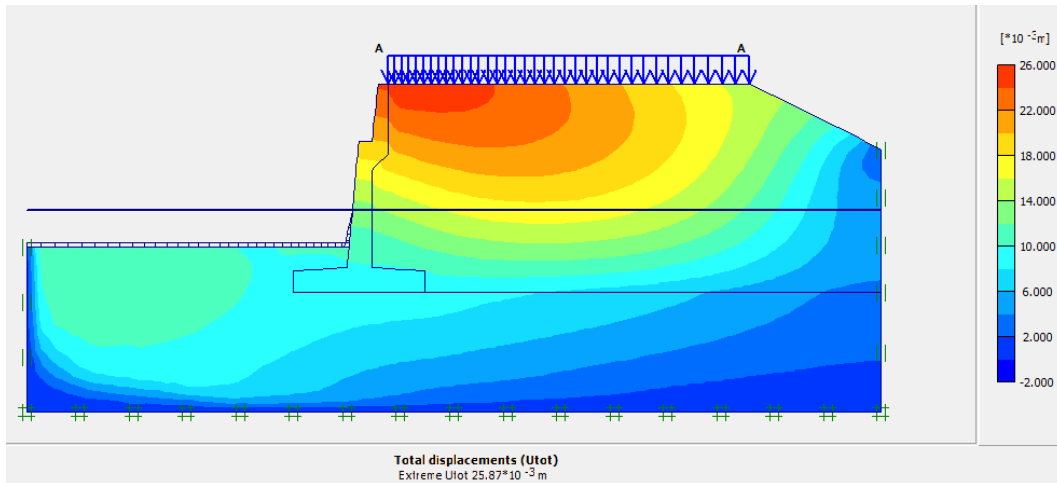


**Gambar L-4.2 Deformed Mesh dengan Beban Pejalan dan Beban Gempa**

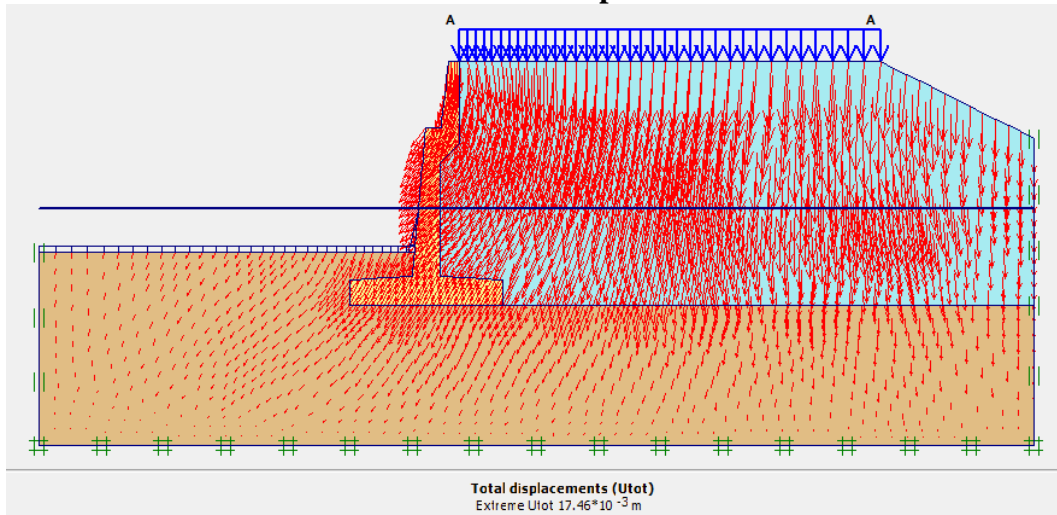


**Gambar L-4.3 Area Kritis Total Displacements dengan Beban Pejalan**

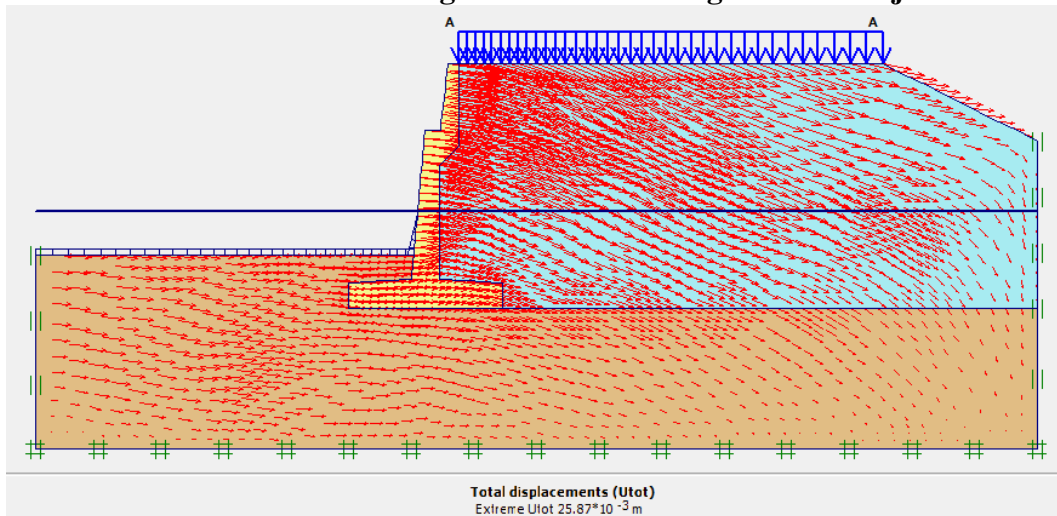
## Lampiran 4 Hasil Permodelan Plaxis Stabilitas Dinding Penahan Tanah pada Kondisi Muka Air Banjir



**Gambar L-4.4 Area Kritis Total Displacements dengan Beban Pejalan dan Beban Gempa**



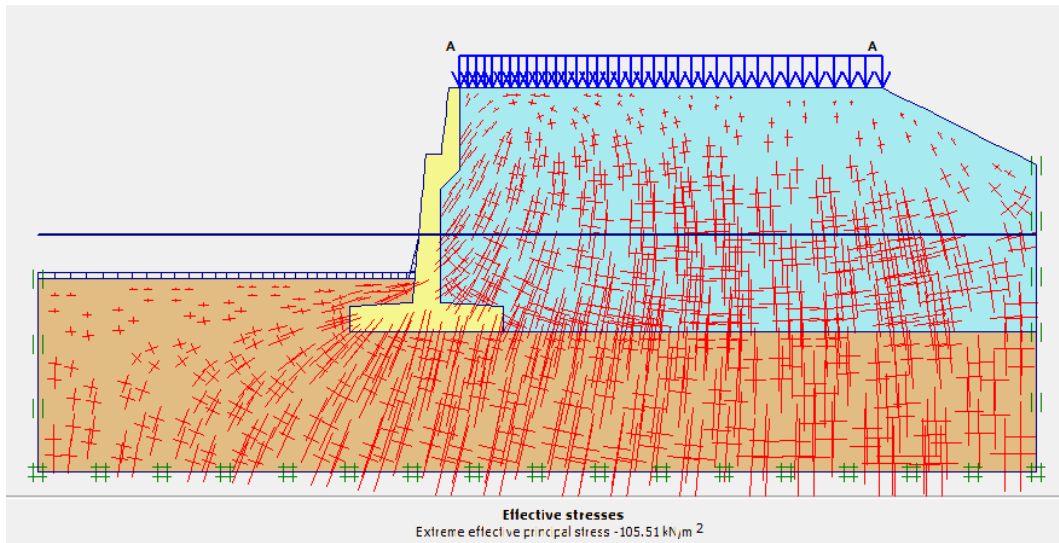
**Gambar L-4.5 Arah Pergerakan Tanah dengan Beban Pejalan**



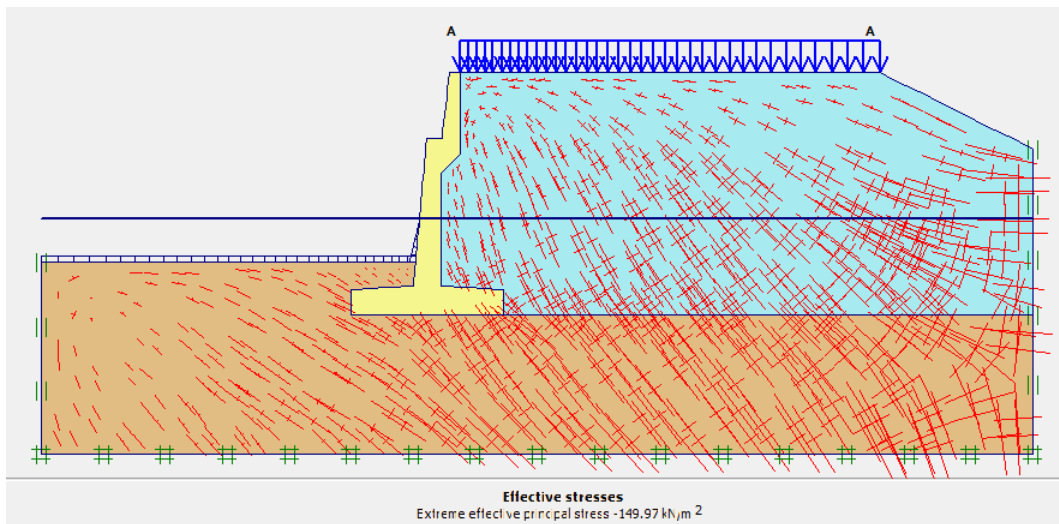
**Gambar L-4.6 Arah Pergerakan Tanah dengan Beban Pejalan dan Beban Gempa**



**Lampiran 4 Hasil Permodelan Plaxis Stabilitas Dinding Penahan Tanah pada Kondisi Muka Air Banjir**



**Gambar L-4.7 Effective Stresses dengan Beban Pejalan**



**Gambar L-4.8 Effective Stresses dengan Beban Pejalan dan Beban Gempa**

Incremental multipliers		Total multipliers	
Mdisp:	N/A	Σ -Mdisp:	1.0000
MloadA:	N/A	Σ -MloadA:	1.0000
MloadB:	N/A	Σ -MloadB:	1.0000
Mweight:	N/A	Σ -Mweight:	1.0000
Maccel:	N/A	Σ -Maccel:	0.0000
Msf:	0.1000	Σ -Msf:	3.0274

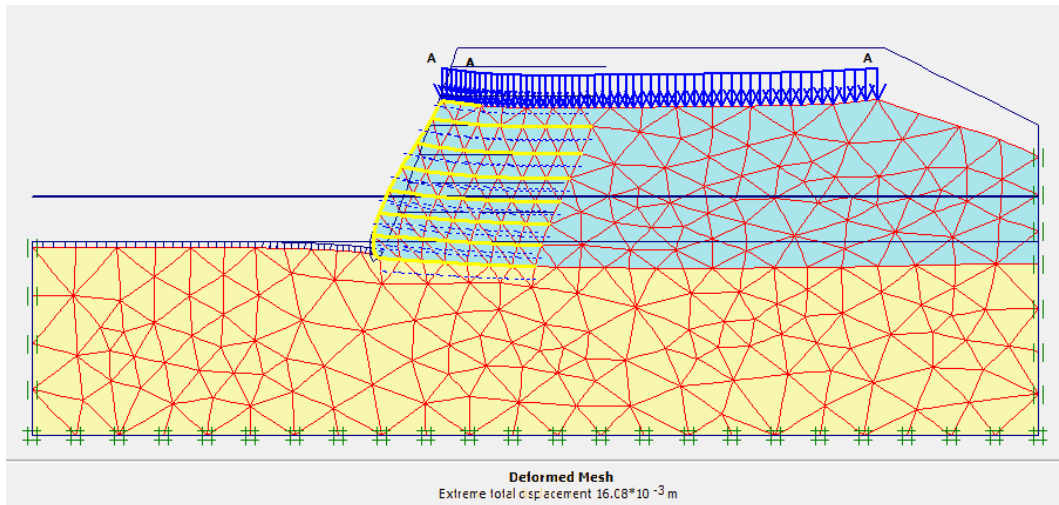
**Gambar L-4.9 Angka Aman dengan Beban Pejalan**

**Lampiran 4 Hasil Permodelan Plaxis Stabilitas Dinding Penahan Tanah pada Kondisi Muka Air Banjir**

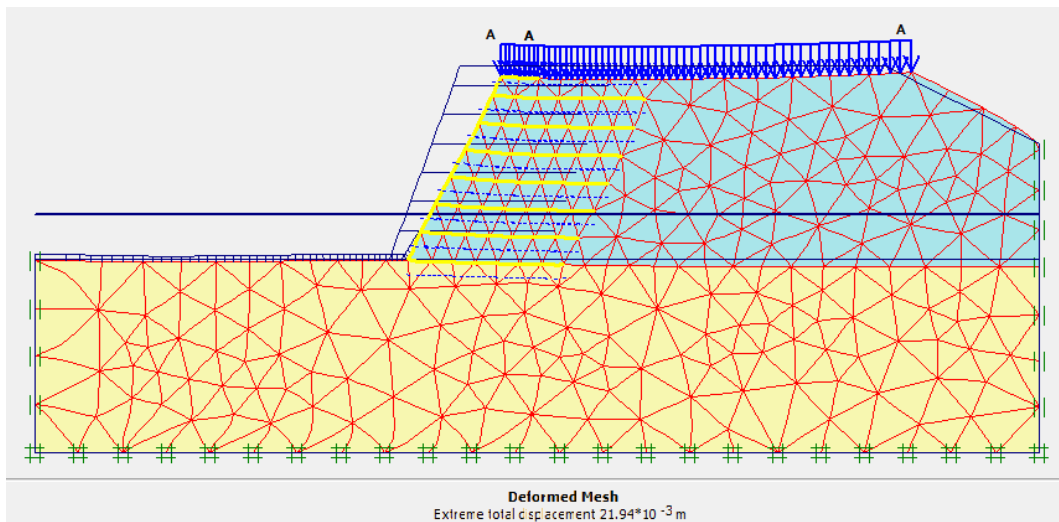
Incremental multipliers		Total multipliers	
Mdisp:	N/A	$\Sigma$ -Mdisp:	1.0000
MloadA:	N/A	$\Sigma$ -MloadA:	1.0000
MloadB:	N/A	$\Sigma$ -MloadB:	1.0000
Mweight:	N/A	$\Sigma$ -Mweight:	1.0000
Maccel:	N/A	$\Sigma$ -Maccel:	-1.0000
Msf:	0.1000	$\Sigma$ -Msf:	1.5638

**Gambar L-4.10 Angka Aman dengan Beban Pejalan dan Beban Gempa**

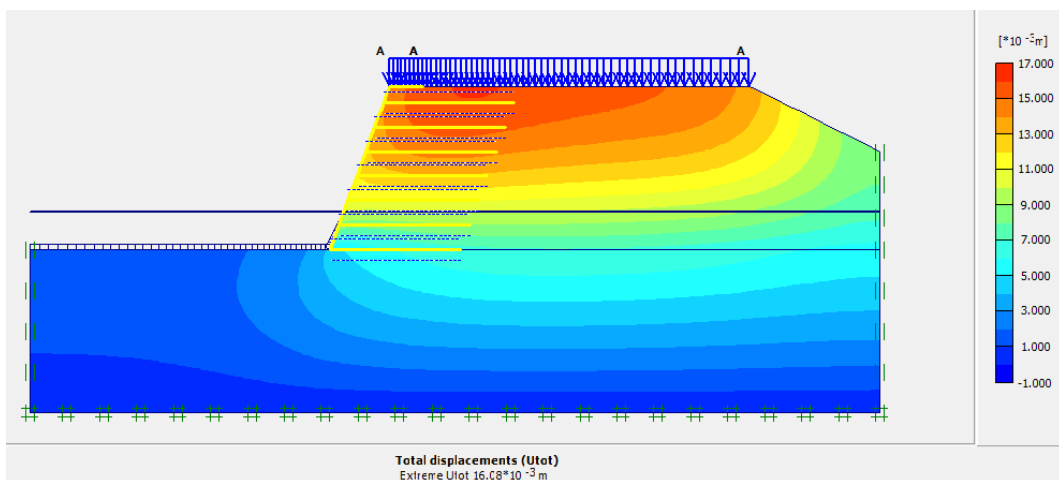
Lampiran 5 Hasil Permodelan Plaxis Perkuatan Lereng Variasi 1  
Menggunakan Geotekstil pada Kondisi Muka Air Banjir



Gambar L-5.1 *Deformed Mesh* dengan Beban Pejalan

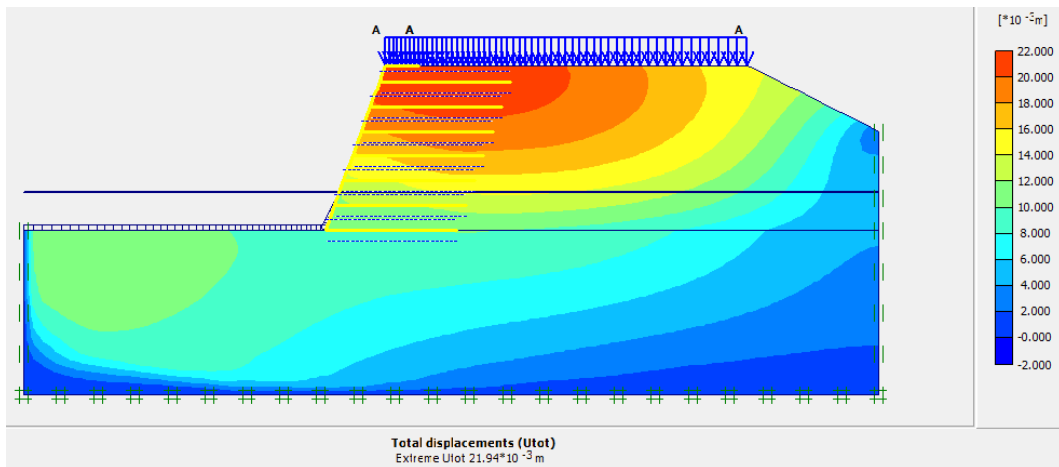


Gambar L-5.2 *Deformed Mesh* dengan Beban Pejalan dan Beban Gempa

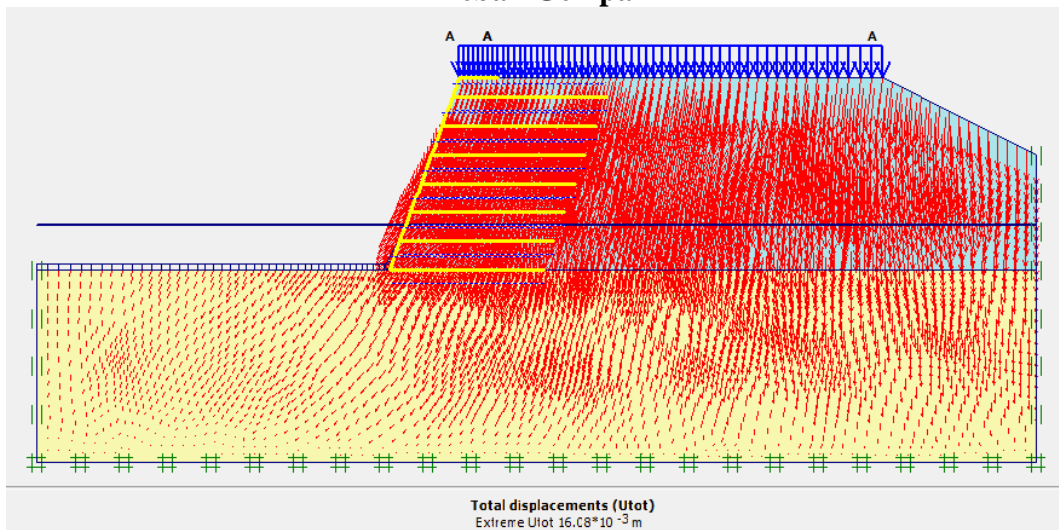


Gambar L-5.3 Area Kritis *Total Displacements* dengan Beban Pejalan

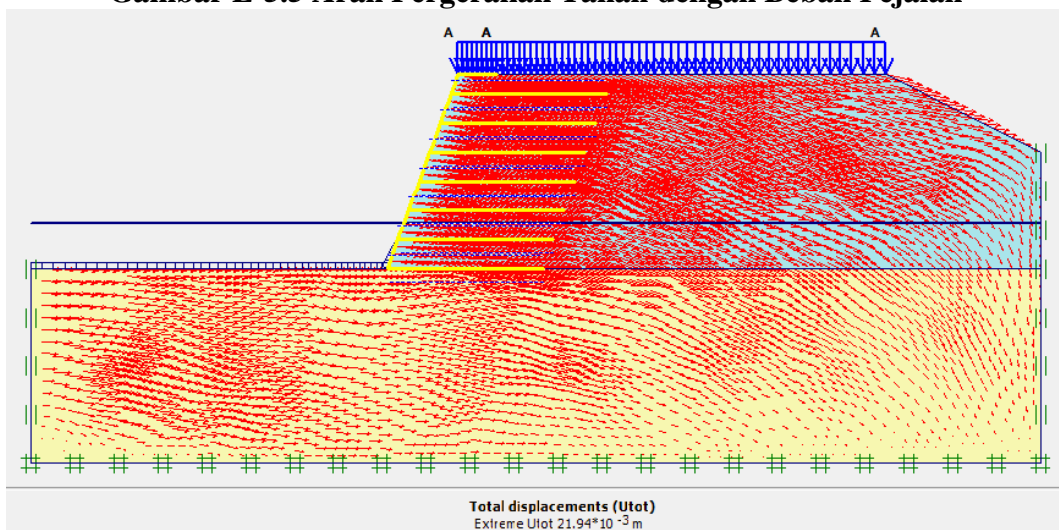
Lampiran 5 Hasil Permodelan Plaxis Perkuatan Lereng Variasi 1  
Menggunakan Geotekstil pada Kondisi Muka Air Banjir



**Gambar L-5.4 Area Kritis Total Displacements dengan Beban Pejalan dan Beban Gempa**

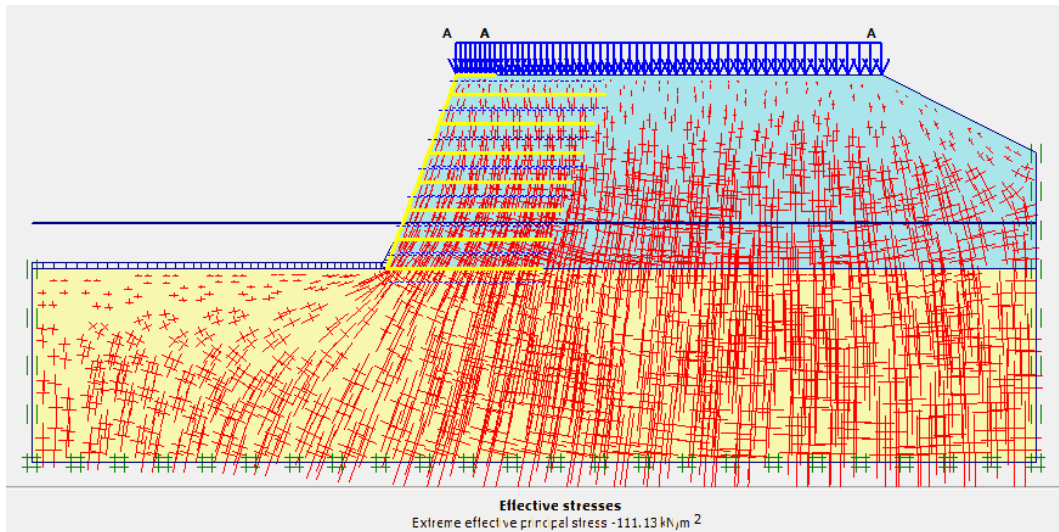


**Gambar L-5.5 Arah Pergerakan Tanah dengan Beban Pejalan**

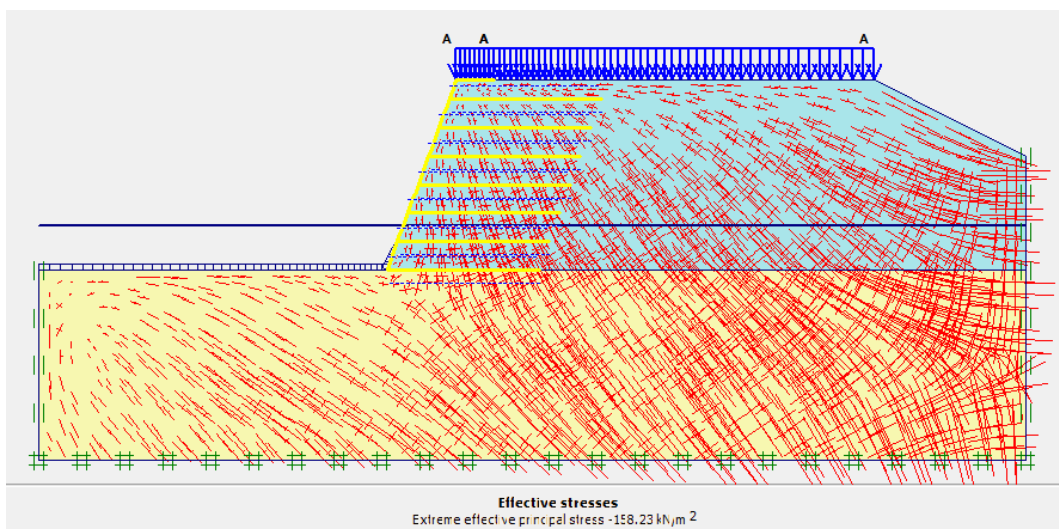


**Gambar L-5.6 Arah Pergerakan Tanah dengan Beban Pejalan dan Beban Gempa**

**Lampiran 5 Hasil Permodelan Plaxis Perkuatan Lereng Variasi 1  
Menggunakan Geotekstil pada Kondisi Muka Air Banjir**



**Gambar L-5.7 Effective Stresses dengan Beban Pejalan**



**Gambar L-5.8 Effective Stresses dengan Beban Pejalan dan Beban Gempa**

Incremental multipliers		Total multipliers	
Mdisp:	N/A	Σ -Mdisp:	N/A
MloadA:	N/A	Σ -MloadA:	1.0000
MloadB:	N/A	Σ -MloadB:	1.0000
Mweight:	N/A	Σ -Mweight:	1.0000
Maccel:	N/A	Σ -Maccel:	0.0000
Msf:	0.1000	Σ -Msf:	2.4942

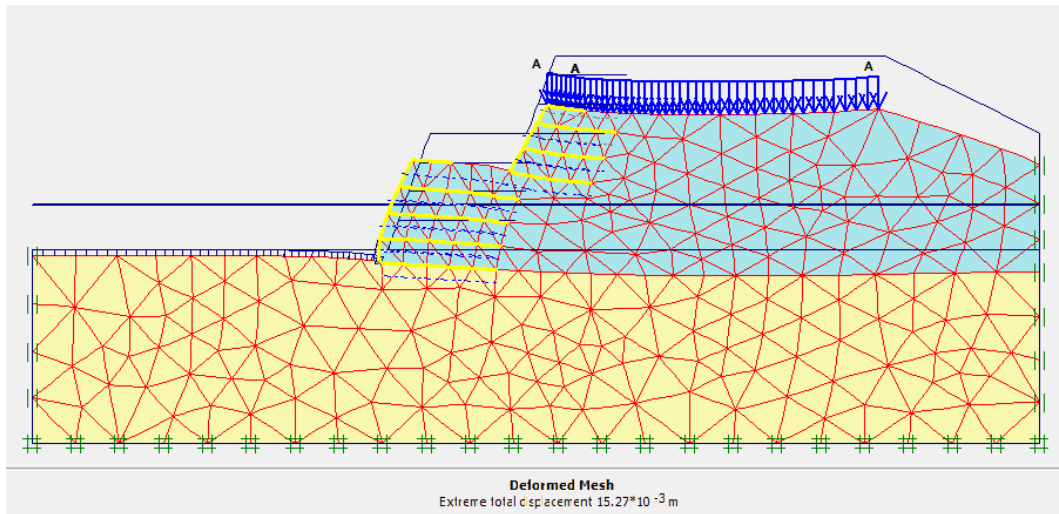
**Gambar L-5.9 Angka Aman dengan Beban Pejalan**

**Lampiran 5 Hasil Permodelan Plaxis Perkuatan Lereng Variasi 1  
Menggunakan Geotekstil pada Kondisi Muka Air Banjir**

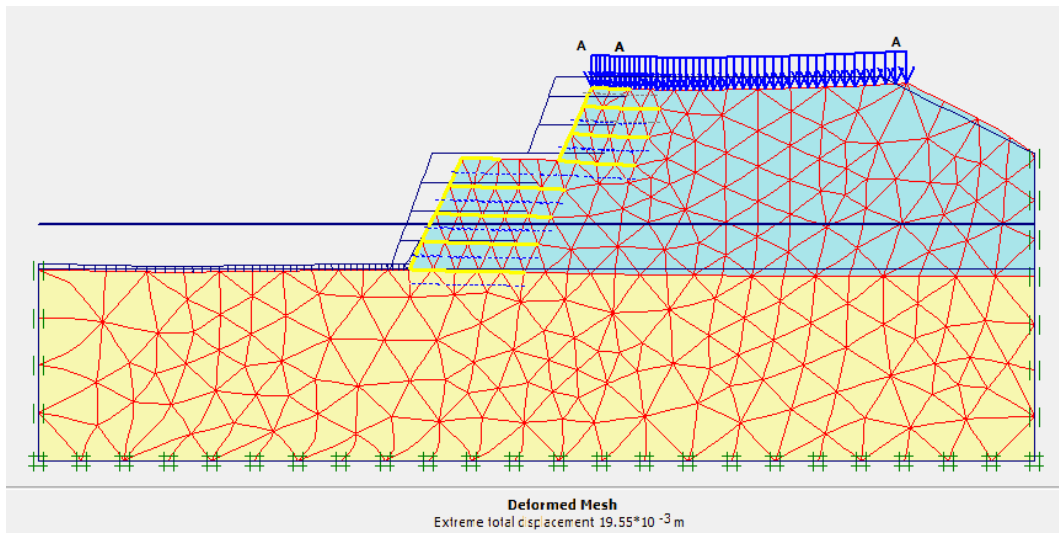
Incremental multipliers		Total multipliers	
Mdisp:	N/A	$\Sigma$ -Mdisp:	N/A
MloadA:	N/A	$\Sigma$ -MloadA:	1.0000
MloadB:	N/A	$\Sigma$ -MloadB:	1.0000
Mweight:	N/A	$\Sigma$ -Mweight:	1.0000
Maccel:	N/A	$\Sigma$ -Maccel:	-1.0004
Msf:	0.1000	$\Sigma$ -Msf:	1.5736

**Gambar L-5.10 Angka Aman dengan Beban Pejalan dan Beban Gempa**

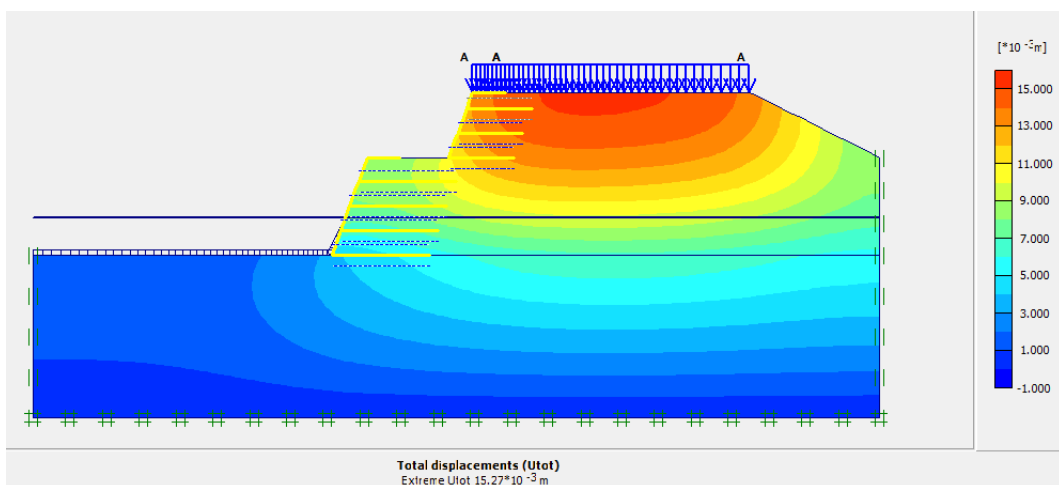
**Lampiran 6 Hasil Permodelan Plaxis Perkuatan Lereng Variasi 2  
Menggunakan Geotekstil pada Kondisi Muka Air Banjir**



**Gambar L-6.1 Deformed Mesh dengan Beban Pejalan**

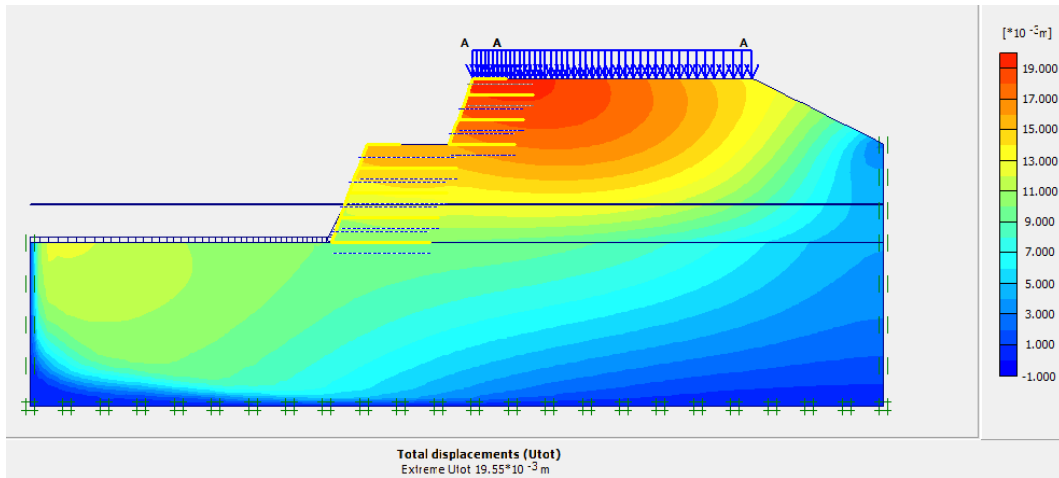


**Gambar L-6.2 Deformed Mesh dengan Beban Pejalan dan Beban Gempa**

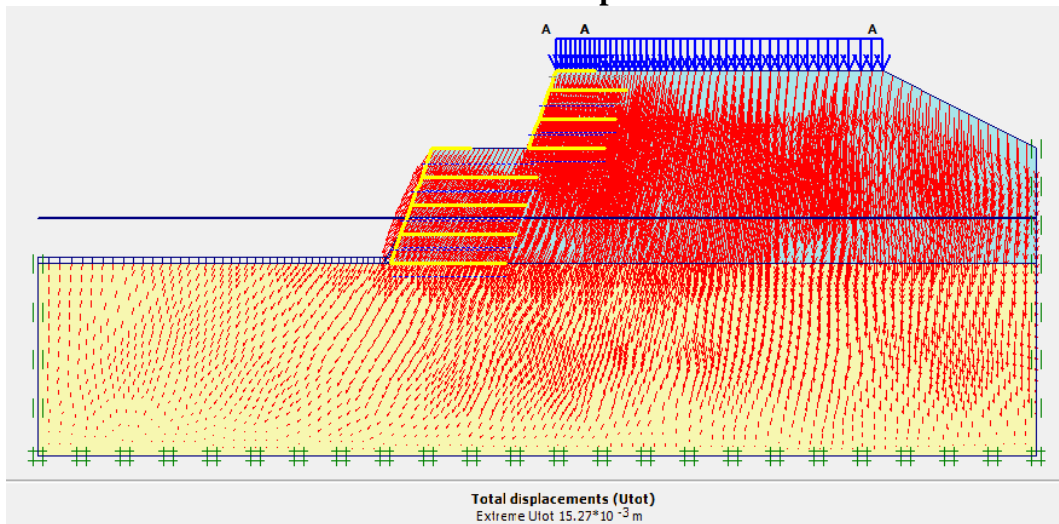


**Gambar L-6.3 Area Kritis Total Displacements dengan Beban Pejalan**

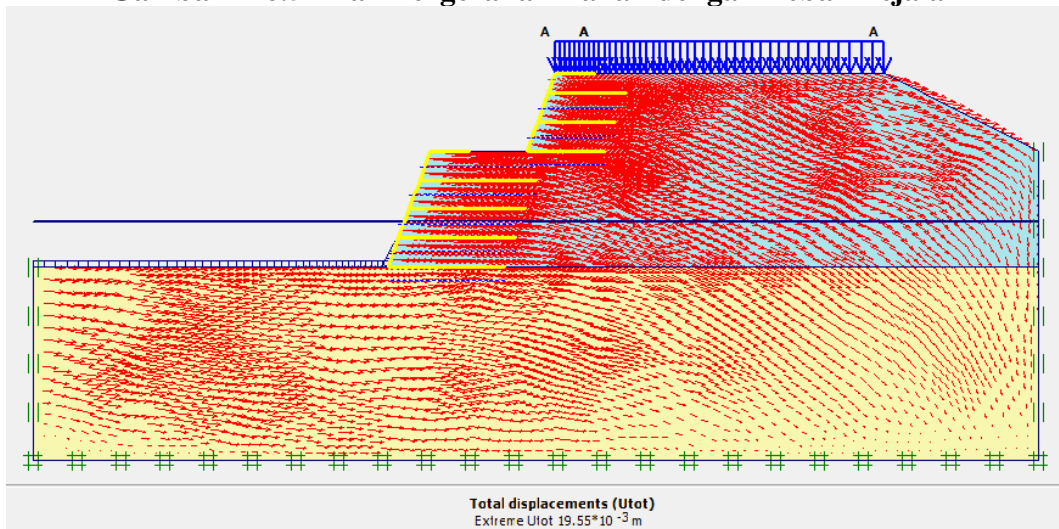
Lampiran 6 Hasil Permodelan Plaxis Perkuatan Lereng Variasi 2  
Menggunakan Geotekstil pada Kondisi Muka Air Banjir



Gambar L-6.4 Area Kritis *Total Displacements* dengan Beban Pejalan dan Beban Gempa



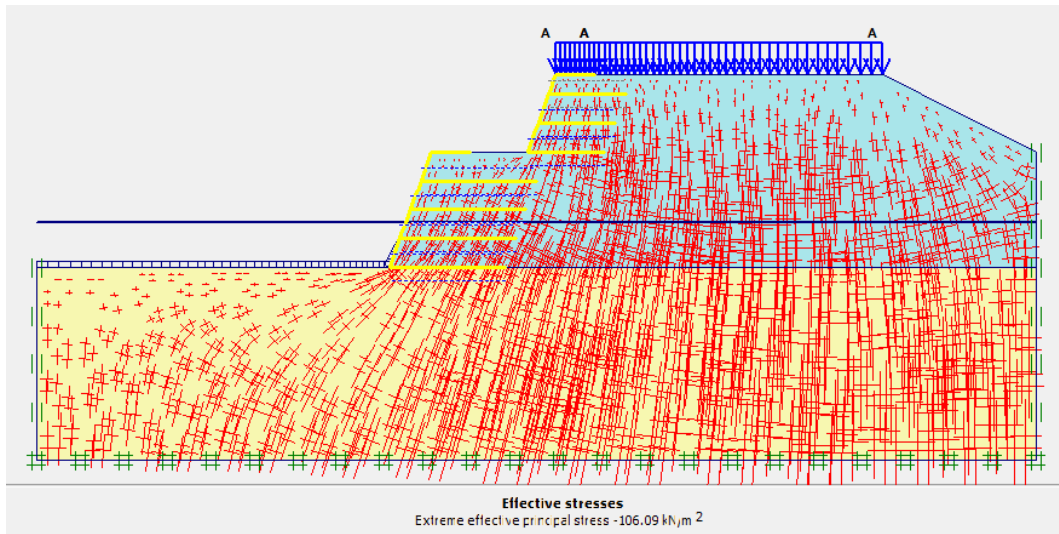
Gambar L-6.5 Arah Pergerakan Tanah dengan Beban Pejalan



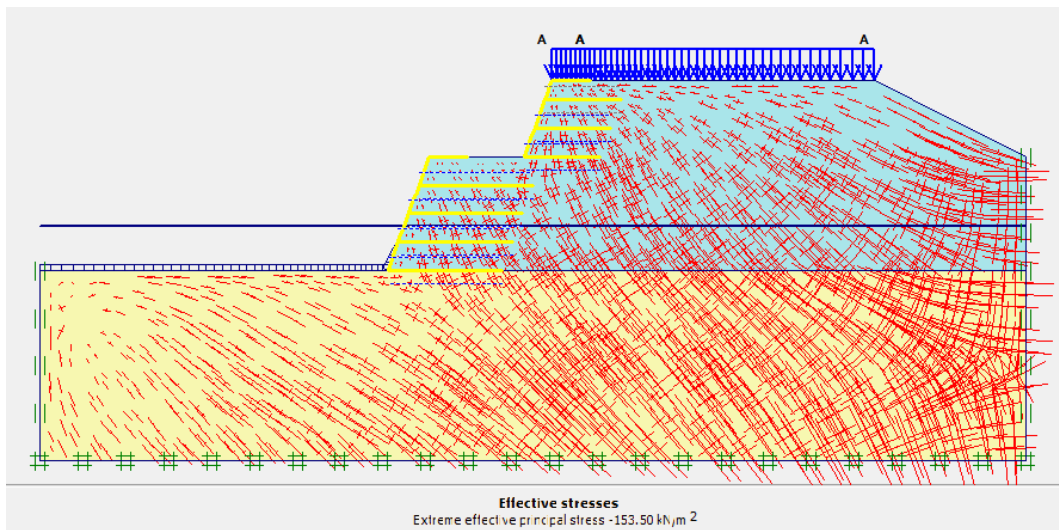
Gambar L-6.6 Arah Pergerakan Tanah dengan Beban Pejalan dan Beban Gempa



**Lampiran 6 Hasil Permodelan Plaxis Perkuatan Lereng Variasi 2  
Menggunakan Geotekstil pada Kondisi Muka Air Banjir**



**Gambar L-6.7 Effective Stresses dengan Beban Pejalan**



**Gambar L-6.8 Effective Stresses dengan Beban Pejalan dan Beban Gempa**

Incremental multipliers		Total multipliers	
Mdisp:	N/A	$\Sigma$ -Mdisp:	N/A
MloadA:	N/A	$\Sigma$ -MloadA:	1.0000
MloadB:	N/A	$\Sigma$ -MloadB:	1.0000
Mweight:	N/A	$\Sigma$ -Mweight:	1.0000
Maccel:	N/A	$\Sigma$ -Maccel:	0.0000
Msf:	0.1000	$\Sigma$ -Msf:	2.7329

**Gambar L-6.9 Angka Aman dengan Beban Pejalan**

**Lampiran 6 Hasil Permodelan Plaxis Perkuatan Lereng Variasi 2  
Menggunakan Geotekstil pada Kondisi Muka Air Banjir**

Incremental multipliers		Total multipliers	
Mdisp:	N/A	$\Sigma$ -Mdisp:	N/A
MloadA:	N/A	$\Sigma$ -MloadA:	1.0000
MloadB:	N/A	$\Sigma$ -MloadB:	1.0000
Mweight:	N/A	$\Sigma$ -Mweight:	1.0000
Maccel:	N/A	$\Sigma$ -Maccel:	-1.0000
Msf:	0.1000	$\Sigma$ -Msf:	1.5670

**Gambar L-6.10 Angka Aman dengan Beban Pejalan dan Beban Gempa**